<u>Лабораторная работа № 4</u> Статическая задача о контакте двух трехмерных тел

КЛЮЧЕВЫЕ СЛОВА

- 1. Статическая задача
- 2. Нелинейный анализ
- 3. Контактная задача (контактные и ответные элементы)

ОПИСАНИЕ ЗАДАЧИ

Рассмотрим контактную задачу о контакте двух трехмерных тел с различными материальными свойствами. Необходимо рассчитать контактные напряжения и сравнить их со значениями, полученными по формулам теории Герца.

Условие задачи.

Рассмотрим контактную задачу о взаимодействии двух роликовых пар с различными физическими свойствами, геометрическими параметрами и радиусами кривизны в двух перпендикулярных направлениях¹ (рис.1).

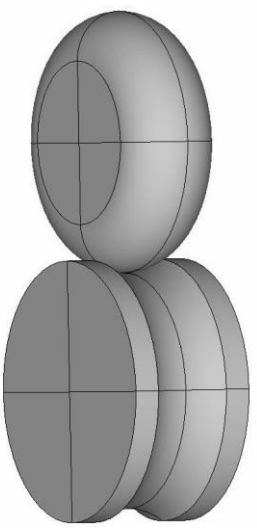


Рис. 1 Схема модели

Схема модели в торцевой плоскости изображена на рис. 2. Верхний ролик с закруглением радиуса $R_3=0.012$ (м) имеет радиус $R_1=0.02$ (м) и ширину $2h_1$; $h_1=0.004$ (м). Нижний ролик с выемкой радиуса $R_4=0.015$ (м) и высотой выемки $h_3=0.0005$ (м) имеет радиус $R_2=0.02$ (м) и ширину $2h_2$; $h_2=0.005$ (м). Ролики имеют различные физические свойства. Верхний ролик выполнен из изотропного материала с модулем Юнга $E_1=2.5\cdot 10^{11}$ (Н/м²) и коэффициентом Пуассона $V_1=0.29$, нижний — из изотропного

¹ Подробно данный пример рассматривается в методических указаниях

Колосова Е. М., Наседкин А. В., Чебаков М. И. Решение статических контактных задач для трехмерных тел канонической формы. Учебно-методическое пособие к практикуму по курсу «Моделирование задач механики деформированного твердого тела в программном комплексе конечно-элементного анализа ANSYS. Нелинейные задачи». Ростов-на-Дону, 2009.

материала с модулем Юнга $E_2 = 2 \cdot 10^{11}~({\rm H/m^2})$ и коэффициентом Пуассона $v_2 = 0.29$. Контактное взаимодействие роликов вызывается сосредоточенной силой $P = 225~({\rm H})$, приложенной в центре верхнего ролика и направленной вертикально вниз. Горизонтальная ось нижнего ролика жестко закреплена. Требуется определить напряжения σ_y и перемещения u_y в зоне контакта роликов.

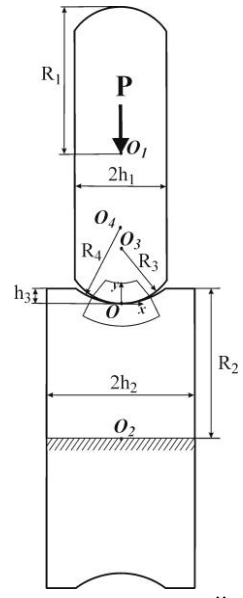


Рис. 2 Проекция в торцевой плоскости

РЕШЕНИЕ ЗАДАЧИ С ИСПОЛЬЗОВАНИЕМ ANSYS

Пример решения этой задачи дан в файле St3SCONT.INP. Данный файл предназначен для выполнения в пакетном режиме ANSYS и снабжен комментариями.

При создании геометрической модели средствами пакета ANSYS использовались свойства симметрии. Можно заметить, что трёхмерная геометрическая модель, изображенная на рис. 1, обладает симметрией относительно плоскостей ОХУ и ОУZ. В силу этого можно простроить 1/4 часть модели (рис. 3), а затем применить условия симметрии к областям, находящихся в этих плоскостях.

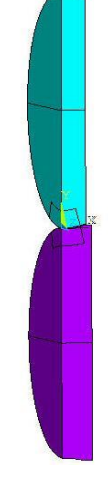


Рис. 3 Четвертая часть модели

Для начала зададим название задачи с помощью команды /**TITLE**. Это название будет выводиться в окне программы:

/TITLE, Contact interaction of a roller pair

препроцессоре /PREP7 зададим параметры значений ДЛЯ геометрических размеров, материальных свойств, размеров конечных элементов и величины нагрузки. При задании параметров триангуляции в соответствие с методологией решения контактных задач по методу конечных элементов при построении сетки конечных элементов будем применять сгущение разбиения в предполагаемой зоне контакта. Пусть есть один характерный размер GLSIZE для конечных элементов, который будем использовать для объемов вне зоны контакта. В дополнительно выделенных геометрических объемах вокруг зоны контакта зададим параметры конечноэлементной сетки меньшего размера (размер элементов – SIZE ALL) по сравнению с остальными областями и дополнительно в точке контакта обеспечим сгущение сетки конечных элементов (размер элементов – SIZE_0). /PREP7

```
! Геометрические размеры верхнего и нижнего ролика
R1=0.02
            !радиус верхнего ролика
R2=0.02
           !радиус нижнего ролика
R3=0.012
           !радиус закругления верхнего ролика
R4=0.015
          !радиус выемки на нижнем ролике
h1=0.004
           !половина ширины верхнего ролика
h2=0.005
           !половина ширины нижнего ролика
h3=0.0005 !углубление выемки на нижнем ролике
! Материальные константы верхнего и нижнего роликов
E1=2.5e11 !Модуль Юнга материала верхнего ролика
E2=2e11
             !Модуль Юнга материала нижнего ролика
NU1=0.29
           !Коэффициент Пуассона материала верхнего ролика
NU2 = 0.29
           !Коэффициент Пуассона материала нижнего ролика
                         канонических областей на
!Геометрические размеры
                                                     верхнем
нижнем ролике
d1=0.003
           !ширина контакта на верхнем ролике
d2=0.003
           !ширина контакта на нижнем ролике
PSIX BOTTOM=12 !Угол раствора по X для нижней канонической
области
PSIX TOP=15 !Угол раствора по X для верхней канонической области
PSIZ BOTTOM=21 !Угол раствора по Z
                                       для нижней канонической
области
PSIZ TOP=18!Угол раствора по Z для верхней канонической области
!Параметры разбиения
GLSIZE=0.0029 !Характерный размер элементов
SIZE ALL=GLSIZE/5 !Размер элементов для всех точек
SIZE 0=GLSIZE/20 !Размер элементов около точки контакта роликов
!Величина приложенной силы
```

PY=0.225e3

Далее зададим материальные свойства. Для статического анализа линейной изотропного материала нужно задать модуль Юнга E и коэффициент Пуассона ϑ . В данной задаче два разных материала, поэтому зададим два набора материальных свойств.

```
!Задание материальных свойств

MP, EX, 1, E1 !Модуль Юнга материала верхнего ролика

MP, NUXY, 1, NU1 !Коэффициент Пуассона материала верхнего ролика

MP, EX, 2, E2 !Модуль Юнга материала нижнего ролика

MP, NUXY, 2, NU2 !Коэффициент Пуассона материала нижнего ролика
```

Задача решается в трехмерной постановке. Для разбиения объемов, занимаемых упругими материалами роликовых пар, будем использовать трехмерные десятиузловые тетраэдральные конечные элементы SOLID92, имеющие три степени свободы u_x , u_y , u_z в каждом узле. На контактных поверхностях потребуется задать контактные и ответные элементы. Для моделирования предполагаемого контакта на поверхности нижнего ролика будем использовать восьмиузловые поверхностные контактные конечные элементы CONTA174 с типом контакта поверхность-поверхность, а на поверхности предполагаемого контакта верхнего ролика — ответные элементы TARGE170.

```
!Типы элементов

ET,1,SOLID92 ! 3-D Квадратичный 10-ти узловой элемент

ET,2,TARGE170 ! 3-D Ответный элемент

ET,3,CONTA174 ! 3-D Контактный элемент
```

При построении геометрии сначала создаются двумерные области, из которых затем создаются объемы путем вращения вокруг оси на заданный угол с помощью команды VROTAT2. Вокруг точки контакта строятся вспомогательные объемы для обеспечения сгущения сетки конечных элементов.

```
!Построение геометрии
!Определение основных точек
K, 1, 0, 0
K, 2, sqrt(h3*(2*R4-h3)), h3
K, 3, h2, h3
K, 4, h2, -(R2-h3)
K, 5, 0, -(R2-h3)
K, 6, 0, R3
K, 7, 0, R4
K, 8, 0, R1
K, 9, h1, R1
K, 10, h1, R3-sqrt (R3*R3-h1*h1)
K, 11, 0, 0
K, 12, 0, 0
K, 13, 0, R4
CLOCAL, 11, 1, 0, R4, 0 ! Цилиндрическая система координат 11
             !Переход в систему координат с номером 11
CSYS, 11
```

```
K, 14, R4, -90+PSIX BOTTOM
K, 15, R4+d2, -90+PSIX BOTTOM
K, 16, R4+d2, -90
CSYS, 0
         !Переход в основную декартову систему координат
K, 17, 0, R3
CLOCAL, 22, 1, 0, R3, 0 ! Цилиндрическая система координат 22
CSYS, 22 !Переход в систему координат с номером 22
K, 18, R3, -90
K, 19, R3, -90 + PSIX TOP
K, 20, R3-d1, -90+PSIX TOP
K, 21, R3-d1, -90
CSYS, 0
           !Переход в основную декартову систему координат
!Определение дуг 1-6
LARC, 1, 2, 7, R4
LARC, 11, 10, 6, R3
LARC, 12, 14, 13, R4
LARC, 16, 15, 13, R4+d2
LARC, 18, 19, 17, R3
LARC, 21, 20, 17, R3-d1
!Определение прямых линий 7-17
L, 12, 16
L, 14, 15
L, 21, 18
L,20,19
L, 2, 3
L, 3, 4
L, 4, 5
L,5,1
L, 11, 8
L,8,9
L, 9, 10
! Определение площадей 1-4 по опорным точкам
A, 11, 8, 9, 10
A, 1, 2, 3, 4, 5
A, 21, 20, 19, 18
A, 12, 14, 15, 16
! Создание объема вращением области 3 вокруг оси с точками 8 и 9
на угол PSIZ BOTTOM
VROTAT, 3, , , , , , 8, 9, PSIZ BOTTOM
! Создание объема вращением области 4 вокруг оси с точками 4 и 5
на угол PSIZ TOP
VROTAT, 4, , , , , , 4, 5, PSIZ TOP
! Создание объема вращением области 1 вокруг оси с точками 8 и 9
на 180 градусов
VROTAT, 1, , , , , , 8, 9, 180
! Создание объема вращением области 2 вокруг оси с точками 4 и 5
на 180 градусов
VROTAT, 2, , , , , 4, 5, 180
```

!Создание новых объемов на месте пересекающихся объемов VOVLAP, ALL

Ассоциируем заданные наборы материальных свойств с объемами верхнего и нижнего ролика:

```
!Присваивание заданных материальных свойств выделенным объемам VSEL, S, VOLU, , 1 !Выделяем новое множество объемов - объем 1 VSEL, A, VOLU, , 4 !Добавляем к этому множеству объем 4 VSEL, A, VOLU, , 8 !Добавляем к этому множеству объем 8 VATT, 1, , 1 ! Ассоциируем с выделенными объемами атрибуты: MAT=1, TYPE=1 VSEL, S, VOLU, , 9 !Выделяем новое множество объемов - объем 9 VSEL, A, VOLU, , 6, 7!Добавляем к этому множеству объемы 6 и 7 VATT, 2, , 1!Ассоциируем с выделенными объемами атрибуты: MAT=2, TYPE=1 VSEL, ALL !Возврат к выбору всех объемов
```

Для построения конечно-элементной сетки вокруг с помощью команды KESIZE задается три размера конечных элементов: один для вспомогательных объемов вокруг точки контакта, второй — вокруг точки контакта для обеспечения сгущения сетки и третий — для четырех объемов вне зоны контакта:

```
!Задание параметра для построения сетки конечных элементов во
всех точках
KESIZE, ALL, SIZE ALL
!Задание параметра для построения сетки конечных элементов около
точки контакта роликов
KESIZE, 18, SIZE 0
!Построение сетки КЭ для объемов 1,7
VMESH, 1
VMESH, 7
!Задание параметра для построения сетки конечных элементов во
всех точках
KESIZE, ALL, GLSIZE
!Построение сетки КЭ для объемов 4,6,8,9
VMESH, 4
VMESH, 6
VMESH,8
VMESH, 9
```

Полученная конечно-элементная сетка представлена на рис. 4.

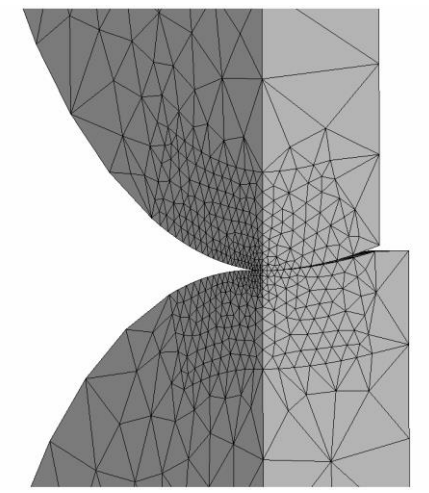


Рис. 4 Сгущение сетки в месте контакта

Создадим контактные и ответные элементы. Контактные элементы будут на поверхности нижнего ролика, а ответные — на поверхности верхнего ролика. Контактные и ответные элементы создаются можно создать с помощью команды ESURF, которая генерирует элементы на свободных гранях существующих элементов. Ответны и контактные элементы сгенерируем на поверхностях контакта, то есть на соответствующих областях вспомогательных объемов.

```
!Задание контактных элементов
ASEL, S, AREA, , 34 !Выделяем новое множество областей - область 34
ASEL, A, AREA, , 40 ! Добавляем к этому множеству область 40
        !Выбираем узлы, принадлежащие выбранным поверхностям
CM, STRIP, NODE !Объединяем выбранные узлы в группу STRIP
ТҮРЕ, 3 !Указываем тип элемента 3 (контактный)
      Устанавливаем атрибут материала 2
MAT, 2
      !Генерируем контактные элементы на выбранных узлах
ASEL, S, AREA, , 7 !Выделяем новое множество областей - область 7
ASEL, A, AREA, , 38 ! Добавляем к этому множеству область 38
NSLA,,1 !Выбираем узлы, принадлежащие выбранным поверхностям
TSHAP, CIRC !Задаем круговую форму для ответных элементов
CM, PUNCH, NODE !Объединяем выбранные узлы в группу PUNCH
ТҮРЕ, 2 !Указываем тип элемента 2 (ответный)
MAT, 1
       !Устанавливаем атрибут материала 1
      !Генерируем ответные элементы на выбранных узлах
ESURF
NSEL, ALL !Возврат к выбору всех узлов
ASEL, ALL !Возврат к выбору всех областей
SAVE
```

Следующим этапом является задание граничных условий и решение задачи. Все эти действия выполним в решателе /SOLU. Нижний ролик жестко закрепим по линии, проходящей через центр нижнего ролика вдоль оси ОХ, на областях, находящихся в плоскостях ОХУ и ОУZ, зададим условия симметрии, в центре верхнего ролика зададим сосредоточенная силу

FINISH

в направлении оси ОУ со значением PY/4 (здесь задается четвертая часть силы PY, поскольку в силу симметрии задачи рассматривается четвертая часть модели).

```
/SOLU
!Жесткое закрепление нижнего ролика
LSEL, S, LINE, , 13 !Выделяем новое множество линий - линия 13
NSLL,,1 !Выбираем узлы, принадлежащие выбранной линии
D, ALL, UX, 0 !Задаем для всех выбранных узлов перемещения UX=0
D, ALL, UY, 0!Задаем для всех выбранных узлов перемещения UY=0
D, ALL, UZ, 0!Задаем для всех выбранных узлов перемещения UZ=0
NSEL, ALL !Возврат к выбору всех узлов
LSEL, ALL !Возврат к выбору всех линий
!Условия симметрии на роликах
DA, 3, SYMM
                               Условие симметрии на области 3
DA, 8, SYMM
                               Условие симметрии на области 8
                           !Условие симметрии на области 19
!Условие симметрии на области 22
DA, 19, SYMM
DA,22,SYMM
                            Условие симметрии на области 31
DA, 31, SYMM
                         Условие симметрии на области 31 

Условие симметрии на области 32 

Условие симметрии на области 33 

Условие симметрии на области 35 

Условие симметрии на области 36 

Условие симметрии на области 37 

Условие симметрии на области 37
DA,32,SYMM
DA,33,SYMM
DA, 35, SYMM
DA,36,SYMM
DA, 37, SYMM
DA,39,SYMM
                             Условие симметрии на области 39
DA,41,SYMM
                              Условие симметрии на области 41
!Приложение сосредоточенной силы
FK, 8, FY, -PY/4 !Прикладываем сосредоточенную силу в точке 8
SOLVE
              !Решить систему МКЭ
SAVE
FINISH
```

АНАЛИЗ РЕЗУЛЬТАТОВ

В постпроцессоре проведем анализ результатов. После настройки некоторых опций графического вывода с помощью команды **PLNSOL** выведем картины распределения перемещений \mathbf{U}_y и напряжений \mathbf{S}_y :

```
выведем картины распределения перемещений U_y и напряжений S_y:

/POST1

/DSCALE, ALL, OFF ! Отключаем установку множителя для изображения смещений

/PLOPTS, INFO, 1 ! Поместим шкалу результатов справа

PLNSOL, U, Y ! Выводим перемещения по оси Y

! Используется задержка для просмотра предыдущей картинки

*ASK, TMP, ANY NUMBER OR PRESS "ENTER"

PLNSOL, S, Y ! Выводим напряжения по оси Y
```

Далее в постпроцессоре POST1 выбираем элементы верхнего ролика с помощью команды **ESEL**, а затем узлы с помощью команды **NSLE**.

Выбираем узел, лежащий в начале координат, с помощью команд NSEL и находим номер N_CONT2 этого узла (команда *GET). Возвращаемся к выбору всех узлов и элементов командами NSEL, ALL и ESEL, ALL. Находим значение перемещения UY в узле N_CONT2. Аналогично действуем для нахождения перемещения UY в начале координат нижнего ролика (в узле N_CONT1). С помощью команды *GET вычисляем напряжения SY в узлах N_CONT1 и N_CONT2. Убедимся, что значения перемещений и напряжений в точке контакта для верхнего и нижнего ролика совпадают, что является дополнительным контролем правильности проведенных расчетов.

```
ESEL, S, MAT, , 2
                        !Выделяем элементы с атрибутом МАТ=2
NSLE,,1
          !Выделяем узлы, принадлежащие выбранным элементам
!Выделяем узел, лежащий в точке с координатами (0,0,0)
NSEL, S, LOC, X, 0
NSEL, R, LOC, Y, 0
NSEL, R, LOC, Z, 0
!Узел с минимальным номером определяем как N CONT2
*GET, N CONT2, NODE, , NUM, MIN
NSEL, ALL
                              !Возврат к выбору всех узлов
ESEL, ALL
                              !Возврат к выбору всех элементов
DELTA2=UY(N CONT2)!Перемещение UY в узле N CONT2 определяем как
DELTA2
ESEL, S, MAT, , 1
                        !Выделяем элементы с атрибутом МАТ=1
        !Выделяем узлы, принадлежащие выбранным элементам
!Выделяем узел, лежащий в точке с координатами (0,0,0)
NSEL, S, LOC, X, 0
NSEL, R, LOC, Y, 0
NSEL, R, LOC, Z, 0
!Узел с минимальным номером определяем как N CONT1
*GET, N CONT1, NODE, , NUM, MIN
NSEL, ALL
                              !Возврат к выбору всех узлов
ESEL, ALL
                             !Возврат к выбору всех элементов
DELTA1=UY(N CONT1)!Перемещение UY в узле N CONT1 определяем как
DELTA1
!Напряжение SY в узле N CONT1 определяем как SYY CONT1
*GET, SYY CONT1, NODE, N CONT1, S, Y
!Напряжение SY в узле N CONT2 определяем как SYY CONT2
*GET, SYY CONT2, NODE, N CONT2, S, Y
```

Сравним полученные значения контактных напряжений со значениями, полученными по формулам теории Герца. Формулы теории Герца приведены в методических указаниях «Решение статических контактных задач для трехмерных тел канонической формы», с. 23-24. Используя формулу (1), можно убедиться, что значение максимального контактного напряжения по абсолютной величине близко к полученному значению с помощью конечно-элементного пакета ANSYS.